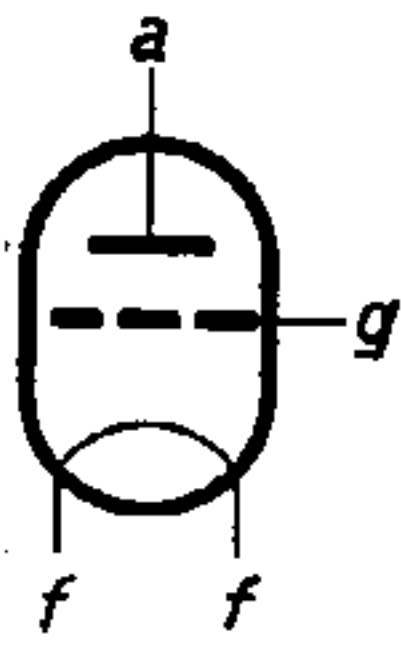


KC 1 Triode



Die Röhre KC 1 ist eine Triode, die als N.F.-Verstärker, Anodengleichrichter und Oszillator in Batterieempfängern benutzt werden kann. Als Gittergleichrichter wird sie nicht empfohlen, weil die maximale Ausgangswchelspannung in den meisten Fällen nicht ausreicht, um eine Endstufe voll auszusteuern. Bei Verwendung als N.F.-Verstärker muß darauf geachtet werden, daß die totale N.F.-Verstärkung, die auf das Gitter dieser Röhre folgt, nicht zu groß ist, weil sonst Mikrophoneffekt auftreten könnte.

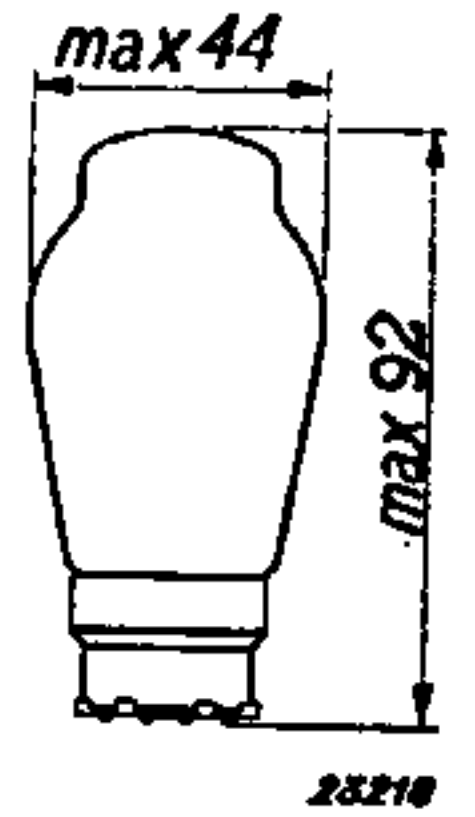


Abb. 1
Abmessungen in mm.

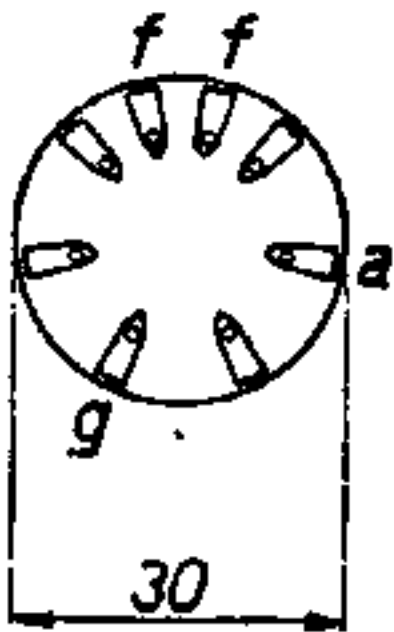


Abb. 2
Elektrodenanordnung
und Sockelanschlüsse.

HEIZDATEN

Heizung: Direkt durch Batteriestrom, Parallelspeisung.

Heizspannung $V_f = 2,0 \text{ V}$
Heizstrom $I_f = 0,065 \text{ A}$

KAPAZITÄTEN

$C_{ag} = 3,5 \mu\mu\text{F}$
 $C_{af} = 2,0 \mu\mu\text{F}$
 $C_{gf} = 3,0 \mu\mu\text{F}$

BETRIEBSDATEN

| | | | |
|------------------------|---------|--------|-----------------|
| Anodenspannung | $V_a =$ | 90 | 135 V |
| Anodenstrom | $I_a =$ | 0,3 | 1,2 mA |
| Neg. Gittervorspannung | $V_g =$ | -1,5 | -1,5 V |
| Steilheit | $S =$ | 0,4 | 0,6 mA/V |
| Innerer Widerstand | $R_i =$ | 60 000 | 40 000 Ω |
| Verstärkungsfaktor | $\mu =$ | 24 | 24 |

GRENZDATEN

| | |
|-------------------------------------|---------------------|
| V_a | = max. 135 V |
| W_a | = max. 0,5 W |
| I_b | = max. 4 mA |
| V_g ($I_g = + 0,3 \mu\text{A}$) | = max. -0,2 V |
| R_{gf} | = max. 3 M Ω |

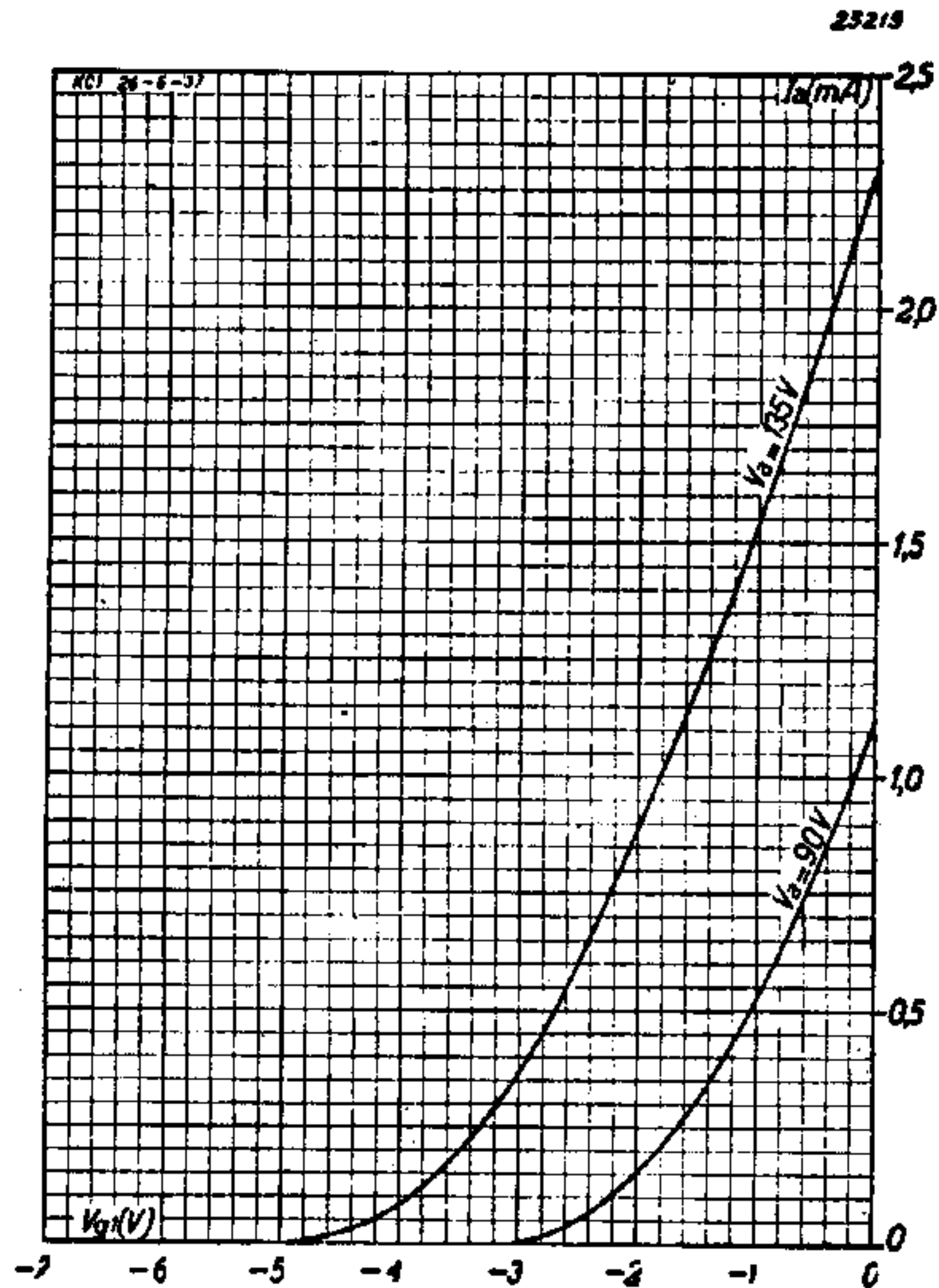


Abb. 3
Anodenstrom als Funktion der negativen Gitterspannung bei $V_a = 90$ und 135 V .

25220

KC 1 26-6-37

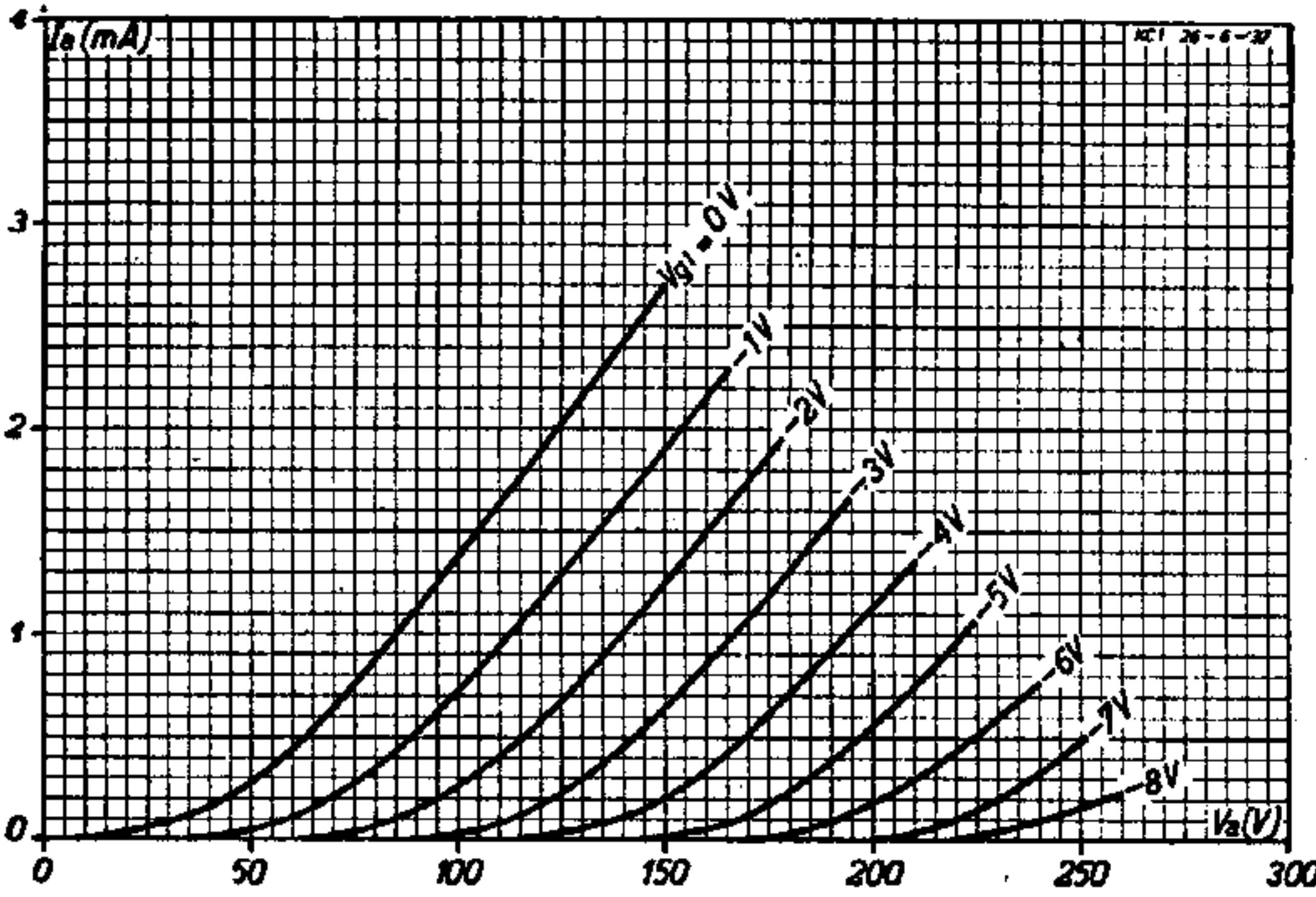


Abb. 4

Anodenstrom als Funktion der Anodenspannung bei verschiedenen negativen Gitterspannungen.

TABELLE

Die Röhre KC 1 als Niederfrequenzverstärker mit Widerstandskopplung

| Spannung der Anoden-batterie V_b Volt | Anoden-kopplungs-widerstand R_a Megohm | Anoden-strom I_a mA | Neg. Gitter-versp. V_g Volt | Für eine Ausgangs-wechselspannung von 7 V (eff) | | Für eine Ausgangs-wechselspannung von 10 V (eff) | |
|---|--|-----------------------------|-------------------------------------|---|------------------------------|--|------------------------------|
| | | | | Verstärkung $\frac{V_o}{V_i}$ | Verzerrung d_{tot} % | Verstärkung $\frac{V_o}{V_i}$ | Verzerrung d_{tot} % |
| 90 | 0,32 | 0,08 | -1,5 | 14,6 × | 2,7 | — | — |
| 90 | 0,32 | 0,13 | -0,75 | 16,7 × | 1,6 | — | — |
| 135 | 0,32 | 0,18 | -1,5 | — | — | 19 × | 1,0 |
| 135 | 0,32 | 0,23 | -0,75 | — | — | 20 × | 0,8 |
| 90 | 0,2 | 0,11 | -1,5 | 14,3 × | 4 | — | — |
| 90 | 0,2 | 0,17 | -0,75 | 16,2 × | 1,5 | — | — |
| 135 | 0,2 | 0,26 | -1,5 | — | — | 18 × | 1,0 |
| 135 | 0,2 | 0,32 | -0,75 | — | — | 18,5 × | 0,8 |

KC 1

